

Investigating the Effect of Varying Magnetic Field and Coriolis Force on Nonlinear Ion-acoustic Waves in Collisional Quantum Plasma

Mohammad Eghbali*

Department of Physics, Faculty of Science, Behbahan Khatam Alanbia University of Technology, Behbahan, Iran

Received: 07.07.2022 Final revised: 25.11.2023 Accepted: 20.05.2024

Doi: [10.22055/jrms.2024.19131](https://doi.org/10.22055/jrms.2024.19131)

Abstract

In this study, a collisional quantum plasma, including the inertial nondegenerate positive ions and inertialess degenerate electrons was investigated in the presence of a spatially varying magnetic field. The propagation of nonlinear ion-acoustic waves excited by spatial variations in the magnetic field in the presence of the Coriolis force and ion collisions with neutral particles was investigated using a fluid model. The differential equation governing the ion acoustic solitary wave propagation was obtained using the reductive perturbation method. This is a non-linear differential equation of modified Korteweg–de Vries–Burgers (mKdVB). As could be observed, Burgers's dissipative and collision terms are caused by the spatial changes of the magnetic field, collision of ions with neutral particles, and presence of Coriolis force. Numerical calculations indicate the combined effect of the spatially varying magnetic field, collision of ions with neutral particles and Coriolis force on the ion acoustic wave behavior is significant, causing oscillating pulses as well as radiation pulses behind the propagation place of solitary waves. In other words, it could be stated that spatial changes in the magnetic field, Coriolis force, and collisions produce a new source for dissipative shock wave generation. By removing the spatial heterogeneity of the magnetic field, Coriolis force, and collision of ions with neutral particles, this equation is converted into the conventional quantum ion-acoustic equation, which could be solved analytically. The solution of this equation is a solitary wave packet that could be propagated in the plasma environment without deformation at a constant speed. This research could be used in space and laboratory plasmas where quantum and magnetic field effects should be considered.

Keywords: Quantum Plasma, Coriolis Force, Soliton, Electrostatic Wave

* Corresponding Author: eghbali_moh@yahoo.com

بررسی اثر میدان مغناطیسی متغیر و نیروی کوریولیس بر امواج یون صوتی غیر خطی در پلاسمای کوآنتومی برخورده

* محمد اقبالی*

گروه فیزیک، دانشکده علوم، دانشگاه صنعتی خاتم الانبیاء (ص) بهبهان، بهبهان، ایران

دريافت: ۱۴۰۱/۰۴/۱۶ ويرايش نهائي: ۱۴۰۲/۰۹/۰۴ پذيرش: ۱۴۰۳/۰۲/۳۱

Doi: [10.22055/jrmsb.2024.19131](https://doi.org/10.22055/jrmsb.2024.19131)

چکیده

در این پژوهش یک پلاسمای کوآنتومی برخورده شامل یون‌های مثبت لخت ناتبهگن و الکترون‌های نالخت تبهگن در حضور میدان مغناطیسی غیرهمگن فضایی، بررسی شده است. انتشار امواج غیرخطی یون صوتی برانگیخته شده ناشی از تغییرات فضایی میدان مغناطیسی در حضور نیروی کوریولیس و برخورد یون‌ها با ذرات خشی با استفاده از مدل سیالی، مطالعه شده است. با استفاده از روش اختلال کاہنده، معادله دیفرانسیل حاکم بر انتشار موج سالیتونی یون صوتی به دست آمده است. این معادله یک معادله دیفرانسیل غیرخطی از نوع کورته-وگ دی وری-برگر اصلاح شده (mKdVB) است. همان‌طوری که از این معادله دیده می‌شود جملات اتلافی برگر و برخورده ناشی از تغییرات فضایی میدان مغناطیسی، برخورد یون‌ها با ذرات خشی و همچنین حضور نیروی کوریولیس است. محاسبات عددی نشان می‌دهد تاثیر ترکیبی میدان مغناطیسی ناهمگن فضایی، برخورد یون‌ها با ذرات خشی و نیروی کوریولیس روی رفتار موج یون صوتی قابل ملاحظه بوده و باعث ایجاد پالس‌های نوسانی و همچنین پالس‌های تابشی در انتهای انتشار موج سالیتونی می‌شود. به عبارتی می‌توان گفت که تغییرات فضایی میدان مغناطیسی، نیروی کوریولیس و برخوردها باعث تولید یک منبع جدید برای ایجاد امواج اتلافی شوک می‌شوند. با حذف ناهمگنی فضایی میدان مغناطیسی، نیروی کوریولیس و همچنین برخورد یون‌ها با ذرات خشی این معادله به معادله یون صوتی کوآنتومی معمولی تبدیل می‌شود که این معادله به صورت تحلیلی قابل حل می‌باشد و جواب‌های این معادله یک بسته موج سالیتونی است که بدون تغییر شکل با سرعت ثابت در محیط پلاسمایی قابل انتشار است. از این پژوهش می‌توان در پلاسماهای فضایی و آزمایشگاهی که اثرات کوآنتومی و میدان مغناطیسی باید در نظر گرفته شوند استفاده نمود.

کلیدواژگان: پلاسمای کوآنتومی اتلافی، نیروی کوریولیس، سالیتون، موج الکترواستاتیک

کاهش یا چگالی به اندازه کافی افزایش می‌یابد، ذرات پلاسما

مقدمه

(مخصوصاً الکترون‌ها) دچار تبهگنی کوآنتومی می‌شوند [۲].

پلاسما یک گاز داغ متشکل از ذرات باردار است که عموماً

با وجود اینکه در گذشته پلاسما به صورت کاملاً کلاسیک

دارای رفتار کلاسیکی است [۱]. با این حال، هنگامی که دما

* نویسنده مسئول: eghbali_moh@yahoo.com

باز نشر این مقاله با ذکر منبع آزاد است.

این مقاله تحت مجوز کریتبو کامنز تخصیص ۴.۰ بین‌المللی می‌باشد.



و دمای الکترون با دمای فرمی الکترون قابل مقایسه است. بنابراین الکترون‌ها از توزیع فرمی دیراک پیروی می‌کنند. در این صورت انتظار می‌رود که اثرات مکانیک کوآنتومی بر روی رفتار ذرات نقش بسیار پرنگی داشته باشند [۱۲، ۱۱]. در دو دهه گذشته انتشار امواج الکترواستاتیکی فرکانس پایین در پلاسماهای کوآنتومی یکی از موضوعات مورد توجه دانشمندان در زمینه فیزیک پلاسمای فضایی و آزمایشگاهی بوده است [۱۳، ۱۴] همچنین بهدلیل ایجاد میدان مغناطیسی در پلاسما توسط حرکت ذرات پلاسما و محصور سازی آن به‌کمک میدان مغناطیسی در محیط‌های آزمایشگاهی، تأثیر میدان مغناطیسی روی محیط پلاسما یک موضوع تحقیقاتی و کاربردی بسیار با اهمیت است. در چند دهه اخیر پدیده‌های غیر خطی در حضور میدان مغناطیسی در بسیاری از محیط‌های پلاسمایی مورد مطالعه و بررسی قرار گرفته است [۱۵-۱۹]. تأثیر میدان مغناطیسی و نیروی کوریولیس روی انتشار امواج غیرخطی در محیط‌های پلاسماء، خصوصاً پلاسمای کوآنتومی یکی از موضوعات مورد علاقه بسیاری از پژوهشگران فیزیک پلاسما بوده است [۲۰]. پاکزاد و همکاران [۲۱] رفتار امواج سالیتونی یون-صوتی با دامنه کوچک را در یک محیط غیرنسبیتی برای پلاسماهای کلاسیک در حضور میدان مغناطیسی متغیر در فضا بررسی کردند. آنها نشان دادند میدان مغناطیسی متغیر، باعث می‌شود که سالیتون‌ها در حین انتشار، مقداری از انرژی را تابش می‌کنند و این انرژی تابشی به صورت امواج شوک و بهطور معکوس حرکت می‌کند. در ادامه، روی و همکاران [۲۲] تأثیر میدان مغناطیسی با تغییرات فضایی را بر امواج غیرخطی در یک پلاسمای کوآنتومی مورد بررسی قرار دادند. نتایج عددی آنها نشان می‌دهد که جواب‌های سالیتون موضعی به‌دلیل ترکیب میدان مغناطیسی متغیر و برخورد با تابش پالس‌های نوسانی در پشت سالیتون در حال انتشار به صورت میرا از بین می‌روند. در این پژوهش یک پلاسمای

در نظر گرفته می‌شد اخیراً با توجه به گسترش پلاسماهای سرد و چگال، بررسی تأثیرات کوآنتومی پلاسما مورد توجه محققین و پژوهشگران قرار گرفته است. پلاسمای کوآنتومی را می‌توان در محیط‌های گوناگون از اجرام اختر فیزیکی خیلی چگال تا کوآنتوم نقطه‌ها و کربن نانولوله‌ها یافت [۳]. در پلاسمای کوآنتوم طول موج دوبروی ذرات پلاسما قابل مقایسه با اندازه اتمی در پلاسمای کوآنتومی می‌شود. اثر کوآنتومی که در معادلات هیدرودینامیکی کوآنتومی (QHD) با پتانسیل بوهم نشان داده می‌شود، ویژگی‌های کاملاً متفاوتی را با حالتی که معادلات هیدرودینامیکی (HD) معمولی تعریف می‌شود آشکار می‌نماید. به‌طور مثال اگرچه موج لانگموئیر در پلاسمای کلاسیک نمی‌تواند منتشر شود [۴]. ولی رن و دیگران [۵] نشان دادند که به‌خاطر در نظر گرفتن پتانسیل بوهم، نوسانات لانگموئیر می‌تواند در پلاسمای کوآنتومی منتشر شود. پلاسمای کوآنتومی سیستمی از ذرات باردار است که در آن اثرات جمعی و کوآنتومی ناشی از دوگانگی موج-ذره و آمار کوآنتومی غالب هستند. در چند سال اخیر برخی از پژوهشگران پراش کوآنتومی ذرات را در انواع مختلفی از پلاسماهای در نظر گرفته‌اند [۶-۸]. با توجه به ویژگی‌های خاص و کاربردی که پلاسماهای کوآنتومی دارند این مدل از پلاسما توجه بسیاری از دانشمندان را به‌خود جلب کرده است زیرا این نوع از پلاسما در محیط‌های خیلی چگال مخصوصاً در فیزیک نجوم و کیهان شناسی به‌وفور یافت می‌شود [۹، ۱۰]. پلاسمای کوآنتومی دارای چگالی ذرات بسیار بالا و دمای نسبتاً پایینی است. علاوه بر طول موج دوبری، مقیاس فضایی قابل مقایسه دیگری به‌نام طول فرمی برای پلاسماهای کوآنتومی به صورت $\frac{v_F}{2\omega_p}$ ، تعریف می‌شود. در رابطه فوق سرعت فرمی و ω_p فرکانس پلاسمایی است. در دمایان خیلی پایین طول موج گرمایی دوبری با فاصله بین الکترونی

الکترون‌ها، v_i سرعت سیالی یون‌ها، Ω_0 فرکانس زاویه‌ای n_i چرخشی، γ_i فرکانس برخورد یون‌ها با ذرات خشی، m_e جرم الکترون‌ها، چگالی یون‌ها، n_e چگالی الکترون‌ها، ω_{pi} میدان مغناطیسی خارجی است. جمله آخر در معادله ۳ و \vec{B} میدان مغناطیسی خارجی است. جمله آخر در معادله ۳ را پتانسیل بوهم می‌نامند، که از انتگرال‌گیری روی معادلات انتقال تکانه مدل ویکر-پواسون یا مدل شرودینگر به دست می‌آید. این عبارت همان جمله‌ای است که باعث می‌شود روابط ما از مدل پلاسمای کلاسیکی به پلاسمای کوآنتمومی تبدیل شود. با بدون بعد سازی معادلات فوق داریم.

$$\frac{\partial n_i}{\partial t} + \frac{\partial(n_i v_{ix})}{\partial x} + \frac{\partial(n_i v_{iy})}{\partial y} + \frac{\partial(n_i v_{iz})}{\partial z} = 0 \quad 5$$

$$\frac{dv_{ix}}{dt} = \frac{\partial \phi}{\partial x} + bv_{iy} - uv_{ix} + \frac{2\Omega_0}{\omega_{pi}} v_{iy} \quad 6$$

$$\frac{dv_{iy}}{dt} = -\frac{\partial \phi}{\partial y} - bv_{ix} - uv_{ix} - \frac{2\Omega_0}{\omega_{pi}} v_{ix} \quad 7$$

$$\frac{dv_{iz}}{dt} = -\frac{\partial \phi}{\partial z} - uv_{ix} \quad 8$$

$$n_i^{3/2} = 1 + 2\phi + \frac{H^2}{\sqrt{n_e}} \vec{\nabla}^2 \sqrt{n_e} \quad 9$$

$$\nabla^2 \phi = n_e - n_i \quad 10$$

$$\frac{d}{dt} \equiv \frac{\partial}{\partial t} + v_{ix} \frac{\partial}{\partial x} + v_{iy} \frac{\partial}{\partial y} + v_{iz} \frac{\partial}{\partial z}$$

در روابط فوق مشتق کلی است. کمیت‌های بدون بعد به صورت زیر تعریف شده‌اند.

$$\phi \rightarrow \frac{e\phi}{2k_B T_{Fe}}, \vec{r} \rightarrow \frac{\vec{r}\omega_{pi}}{c_s}, \vec{v}_i \rightarrow \frac{\vec{v}_i}{c_s}, v \rightarrow \frac{\gamma_i}{\omega_{pi}},$$

$$t \rightarrow \omega_{pi}^{-1} t, n_{e,i} \rightarrow \frac{n_{e,i}}{n_0},$$

$$\text{در معادلات فوق } H = \frac{\hbar \omega_{pe}}{2k_B T_{Fe}} \text{ پارامتر بدون بعد}$$

$$\text{کوآنتمومی، } b(r) = \frac{eB(r)}{m\omega_{pi}} \text{ پارامتر وابستگی فضایی،}$$

$$c_s = \sqrt{\frac{2k_B T_{Fe}}{m_i}} \text{ سرعت یون صوتی کوآنتمومی، } k_B \text{ ثابت}$$

دو مؤلفه‌ای شامل الکترون‌های ناخت تبهگن، یون‌های لخت غیر تبهگن با بار مثبت در حضور میدان مغناطیسی ناهمگن فضایی و همچنین حضور نیروی کوریولیس در نظر گرفته و تأثیر پارامترهای مختلف از جمله ناهمگی فضایی میدان مغناطیسی، نیروی کوریولیس و اثرات کوآنتمومی را روی رفتار موج یون صوتی کوآنتمومی بررسی می‌کنیم. این مدل از پلاسما در بسیاری از موقعیت‌ها مخصوصاً در اتمسفر کره زمین، ستاره‌های نوترونی، فضای میان ستارگان، حلقه‌های سیاره‌ای، داخل سیاره مشتری و کوتوله‌های سفید یافت می‌شود [۲۰].

معادلات هیدرو دینامیکی سیالی کوآنتمومی

انتشار غیر خطی مود الکترواستاتیکی سالیتونی یون صوتی در یک پلاسمای مغناطیسی کوآنتمومی شامل یون‌های با بار مثبت لخت و غیر تبهگن و الکترون‌های غیرلخت تبهگن را در نظر می‌گیریم. در شرایط تعادل گرمایی الکترون‌ها و یون‌ها دارای چگالی ذرات مساوی هستند که آن را n_0 می‌نامیم. فرض می‌کنیم یک میدان مغناطیسی خارجی وابسته به مکان با تغییرات کند، به صورت $\vec{B} = B(r)\hat{z}$ بر پلاسما اعمال شده است. همچنین جملات برخوردی ناشی از برخورد یون‌ها با ذرات خشی و نیروی کوریولیس (چرخش) را در نظر می‌گیریم [۲۴، ۲۳]. بنابراین مجموعه معادلات سیالی کوآنتمومی هیدرو دینامیکی عبارتند از [۲۵]

$$\frac{\partial n_i}{\partial t} + \vec{\nabla} \cdot (n_i \vec{v}_i) = 0 \quad 1$$

$$\frac{d\vec{v}_i}{dt} = \frac{e}{m_i} [\vec{E} + \vec{v}_i \times \vec{B}] - \gamma_i \vec{v}_i + 2\Omega_0 (\vec{v}_i \times \hat{z}) \quad 2$$

$$0 = \frac{e}{m_e} \vec{\nabla} \phi - \frac{\vec{\nabla} p_e}{m_e n_e} + \frac{\hbar^2}{2m_e} \vec{\nabla} \left(\frac{\vec{\nabla}^2 \sqrt{n_e}}{\sqrt{n_e}} \right) \quad 3$$

$$\nabla^2 \phi = \frac{e}{\epsilon_0} (n_e - n_i) \quad 4$$

چرخش را در راستای محور Z در نظر گرفته‌ایم $\vec{\Omega} = \Omega_0 \hat{z}$ در معادلات فوق ϕ پتانسیل الکترواستاتیکی، p_e فشار

$$\phi = \varepsilon\phi^{(1)} + \varepsilon^2\phi^{(2)} + \varepsilon^3\phi^{(3)} + \dots \quad ۱۸$$

عکس یک پارامتر کوچک بدون بعد است که میزان غیرخطی بودن سیستم را نشان می‌دهد. با جایگذاری این متغیرها در معادلات ۵ تا ۱۰ و در نظر گرفتن کمترین توان‌های عکس داریم.

$$n_e^{(1)} = n_e^{(0)} = 3\phi^{(1)}, v_{ix}^{(1)} = \frac{l_y}{b + \frac{2\Omega_0}{\omega_{pi}}} \frac{\partial\phi^{(1)}}{\partial\xi} \quad ۱۹$$

$$v_{iy}^{(1)} = \frac{l_x}{b + \frac{2\Omega_0}{\omega_{pi}}} \frac{\partial\phi^{(1)}}{\partial\xi}, v_{iz}^{(1)} = \frac{3\lambda}{l_z} \phi^{(1)}, \lambda = \frac{|l_z|}{\sqrt{3}},$$

که θ زاویه بین بردار انتشار موج و میدان مغناطیسی خارجی است. معادلات دینامیکی در مرتبه بالاتر عبارتند از

$$\begin{aligned} \lambda \frac{\partial n_i^{(1)}}{\partial\xi} - l_x \frac{\partial v_{ix}^{(2)}}{\partial\xi} - l_y \frac{\partial v_{iy}^{(2)}}{\partial\xi} \\ - l_y \frac{\partial v_{iz}^{(2)}}{\partial\xi} = \frac{\partial n_i^{(1)}}{\partial\tau} + l_z \frac{\partial(n_i^{(1)} v_{iz}^{(1)})}{\partial\xi} = 0 \end{aligned} \quad ۲۰$$

$$v = \frac{\lambda}{b} \frac{\partial v}{\partial\xi} \quad ۲۱$$

$$v_{iy}^{(2)} = -\frac{\lambda}{b} \frac{\partial v_{ix}^{(1)}}{\partial\xi} \quad ۲۲$$

$$\begin{aligned} \lambda \frac{\partial v_{iz}^{(2)}}{\partial\xi} - l_z \frac{\partial\phi^{(2)}}{\partial\xi} = \frac{\partial v_{iz}^{(1)}}{\partial\tau} + l_z v_{iz}^{(1)} \frac{\partial v_{iz}^{(1)}}{\partial\xi} \\ + \gamma v_{iz}^{(1)} \end{aligned} \quad ۲۳$$

$$\phi^{(2)} = \frac{1}{3} n_e^{(2)} - \frac{1}{18} (n_e^{(1)})^2 - \frac{H^2}{4} \frac{\partial^2 n_e^{(1)}}{\partial\xi^2} \quad ۲۴$$

$$\frac{\partial^2\phi^{(1)}}{\partial\xi^2} = n_e^{(2)} - n_i^{(2)} \quad ۲۵$$

با حذف متغیرهای مرتبه دوم از معادلات ۲۰ تا ۲۵ و استفاده از معادله ۱۹ داریم.

$$T_{Fe} = \frac{\hbar^2 (3\pi^2 n_0)}{2k_B m_e} \text{ بولتزمان،} \quad ۱۶$$

ثابت پلانک تقسیم بر 2π است. معادله ۹، چگالی الکترون‌ها، با انتگرال‌گیری از معادله ۳ و استفاده از شرایط مرزی $0 \rightarrow \phi$ و $1 \rightarrow n_e$ در بینهایت، بدست آمده است. فشار الکترون‌های تبیهگن به صورت زیر در نظر گرفته می‌شود [۲۶].

$$p_e = \frac{m_e V_{Fe}^2}{5n_0^{3/2}} n_e^{5/3} \quad ۱۷$$

$V_{Fe} = \sqrt{\frac{ek_B T_{Fe}}{m_e}}$ سرعت حرارتی فرمی الکترون‌ها است. برای ارزیابی معادله غیرخطی حاکم بر این سیستم از روش اختلال کاهنده استفاده می‌کنیم. در روش اختلال کاهنده کمیت‌های فیزیکی را حول نقطه تعادلی شان بسط می‌دهیم. این روش زمانی استفاده می‌شود که اختلال وارد بر سیستم کوچک باشد. متغیرهای مستقل کند تغییر جدید را به صورت زیر تعریف می‌کنیم.

$$\xi = \varepsilon^{1/2} (l_x x + l_y y + l_z z - \lambda t), \tau = \varepsilon^{3/2} t \quad ۱۸$$

عکس یک پارامتر کوچک است که قدرت دامنه موج اختلالی را نشان می‌دهد و سرعت فاز است. l_x , l_y و l_z کسینوس‌های هادی بردار موج k هستند به طوری که $l_x^2 + l_y^2 + l_z^2 = 1$. همچنین فرض می‌کنیم $\gamma_i = \varepsilon^{3/2} \gamma$ و γ از مرتبه یک و یا کمتر است [۲۷]. متغیرهای وابسته را بر حسب توان‌های پارامتر ε به صورت زیر بسط می‌دهیم.

$$n_i = 1 + \varepsilon n_i^{(1)} + \varepsilon^2 n_i^{(2)} + \varepsilon^3 n_i^{(3)} + \dots \quad ۱۹$$

$$n_e = 1 + \varepsilon n_e^{(1)} + \varepsilon^2 n_e^{(2)} + \varepsilon^3 n_e^{(3)} + \dots \quad ۲۰$$

$$v_{ix} = \varepsilon^{3/2} v_{ix}^{(1)} + \varepsilon^2 v_{ix}^{(2)} + \varepsilon^{5/2} v_{ix}^{(3)} + \dots \quad ۲۱$$

$$v_{iy} = \varepsilon^{3/2} v_{iy}^{(1)} + \varepsilon^2 v_{iy}^{(2)} + \varepsilon^{5/2} v_{iy}^{(3)} + \dots \quad ۲۲$$

$$v_{iz} = \varepsilon^{3/2} v_{iz}^{(1)} + \varepsilon^2 v_{iz}^{(2)} + \varepsilon^{5/2} v_{iz}^{(3)} + \dots \quad ۲۳$$

$$E(\xi) = \frac{3\lambda}{6}(1-3\lambda^2) \left[\begin{array}{l} \frac{3}{\left(b + \frac{2\Omega_0}{\omega_{pi}} \right)^4} \left(\frac{\partial b}{\partial \xi} \right)^2 \\ - \frac{1}{\left(b + \frac{2\Omega_0}{\omega_{pi}} \right)^3} \frac{\partial^2 b}{\partial \xi^2} \end{array} \right]$$

همان‌طوری که مشاهده می‌شود معادله فوق نسبت به معادله (dKdV) دارای چندین جمله اضافی است که این جملات به‌دلیل تغییرات مکانی میدان مغناطیسی ظاهر شده‌اند. از معادله فوق می‌توان تأثیر پتانسیل بوهمن را در ضریب پاشندگی مشاهده کرد. برای بررسی دقیق‌تر سیستم فوق می‌توان حالت‌های خاصی که قبل از بررسی شده‌اند را در نظر گرفت و نتایج به‌دست آمده از این پژوهش را با نتایج قبلی مقایسه نمود. با حذف میدان مغناطیسی و اثرات کوآنتومی معادله فوق به معادله (KdV) برای یک سیستم پلاسمای دو مؤلفه‌ای شامل الکترون و یون تبدیل می‌شود. مقایسه نشان می‌دهد که نتایج به‌دست آمده در این حالت با نتایج به‌دست آمده توسط واشیمی و همکاران مشابه هستند [۲۸]. برای بررسی و مقایسه بیشتر می‌توان میدان مغناطیسی را حذف نمود در این حالت سیستم شامل یک پلاسمای کوآنتومی غیرمغناطیسی است که نتایج به‌دست آمده با نتایج حاصل از پژوهش هاس و همکاران همخوانی دارد [۱۵]. از طرف دیگر، همان‌طور که مشاهده می‌کنیم، اگر فرکانس زاویه‌ای چرخشی (Ω_0) حذف شود (یعنی مقدار آن در تمام ضرایب به‌دست آمده صفر قرار داده شود)، روابط ۲۸ به دسته روابط ۲۳ مقاله روی و همکاران [۲۲] تبدیل می‌شوند.

$$\begin{aligned} & \frac{\partial \phi^{(1)}}{\partial \tau} + 4\lambda \phi^{(1)} \frac{\partial \phi^{(1)}}{\partial \xi} + \frac{\lambda}{6} \left[1 - \frac{9H^2}{4} \right] \frac{\partial^3 \phi^{(1)}}{\partial \xi^3} \\ & + \frac{\lambda}{6b^2} (1-3\lambda^2) \frac{\partial}{\partial \xi} \left\{ \frac{1}{b + \frac{2\Omega_0}{\omega_{pi}}} \frac{\partial}{\partial \xi} \left(\frac{1}{b + \frac{2\Omega_0}{\omega_{pi}}} \right) \frac{\partial \phi^{(1)}}{\partial \xi} \right\} \\ & + \frac{\gamma}{2} \phi^{(1)} = 0 \end{aligned} \quad ۲۶$$

در معادله میرابی اصلاح شده (KdV)، جمله چهارم ناشی از حضور پارامتر b ، اثرات میدان مغناطیسی ناهمگن و همچنین حضور نیروی کوریولیس و جمله پنجم ناشی از برخورد یون‌ها با ذرات خشی است. با حذف ناهمگنی میدان مغناطیسی، نیروی کوریولیس و همچنین برخوردها این دو جمله حذف می‌شوند و معادله مذکور به معادله موج یون صوتی کوآنتومی^۱ (dKdV) تبدیل می‌شود [۱۵]. با مشتق‌گیری فضایی، معادله ۲۶ را می‌توان به صورت زیر نوشت.

$$\begin{aligned} & \frac{\partial \phi^{(1)}}{\partial \tau} + A\phi^{(1)} \frac{\partial \phi^{(1)}}{\partial \xi} + B \frac{\partial^3 \phi^{(1)}}{\partial \xi^3} + C(\xi) \frac{\partial^3 \phi^{(1)}}{\partial \xi^3} \\ & + D(\xi) \frac{\partial^2 \phi^{(1)}}{\partial \xi^2} + E(\xi) \frac{\partial \phi^{(1)}}{\partial \xi} + \frac{\gamma}{2} \phi^{(1)} = 0 \end{aligned} \quad ۲۷$$

ضرایب معادله غیرخطی به صورت زیر تعریف می‌شوند.

$$\begin{aligned} C(\xi) &= \frac{\lambda}{6b^2} (1-3\lambda^2) \quad A = 4\lambda, B = \frac{\lambda}{6} \left(1 - \frac{9H^2}{4} \right) \\ D(\xi) &= \frac{3\lambda}{6 \left(b + \frac{2\Omega_0}{\omega_{pi}} \right)^3} (1-3\lambda^2) \frac{\partial b}{\partial \xi} \end{aligned}$$

^۱ deformed Korteweg-de Vries equation

منظور، از روش رونگ-کوتا (Runge-Kutta) مرتبه ۴ برای مشتق زمانی و روش تفاضل محدود برای مشتقان فضایی بهره می‌گیریم. فاصله شبکه فضایی $\Delta\xi = 0.001$ و $\Delta\zeta = 0.005$ (برای پایدار بودن جواب عددی) انتخاب شده است، و فاصله شبکه زمانی به عنوان $\Delta\tau = 0.0001$ در نظر گرفته شده است. یک میدان مغناطیسی با شکل گاؤسی دلخواه $b = 0.4 \left(1 + e^{-\xi^2}\right)$ در نظر می‌گیریم. برای یک جواب عددی وابسته به زمان از جواب تک سالیتونی به صورت $\phi^{(1)}(\xi, 0) = \frac{3U}{A} \operatorname{sech}^2\left(\sqrt{\frac{U}{4B}}\xi\right)$ که طول فضایی است و از شرایط مرزی زیر استفاده می‌کنیم.

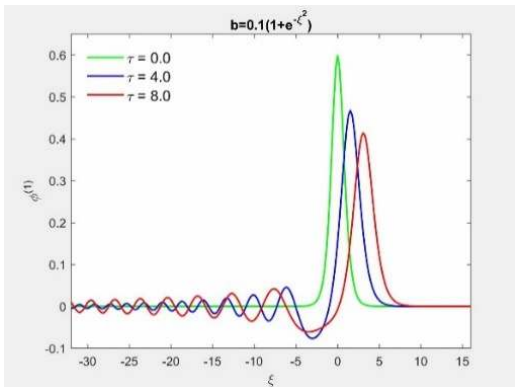
$$\phi^{(1)}(\pm L, 0) = \frac{3U}{A} \operatorname{sech}^2\left(\sqrt{\frac{U}{4B}}L\right), \phi^{(1)}(-L, 0) = \phi^{(1)}(+L, 0) = 0$$

در شکل ۱ جواب‌های عددی معادله بهازای زمان‌های مختلف در غیاب برخورد برای میدان‌های مغناطیسی مختلف نشان داده شده است. همان‌طوری که از این شکل‌ها دیده می‌شود با گذشت زمان دامنه پالس کاهش می‌یابد همچنین مشاهده می‌شود که دنباله سالیتونی (شوك اتلافی) در پشت سالیتون در حال پیشروی رخ می‌دهد. حضور میدان مغناطیسی ناهمگن باعث ایجاد ناهمگنی در چگالی ذرات پلاسمای می‌شود این چگالی ناهمگن یک پالس نوسانی به سمت عقب تولید می‌کند که این موج با دور شدن از ناحیه آشفتگی ضعیف می‌شود. با کاهش میدان مغناطیسی تعداد تابش‌های نوسانی افزایش یافته و دامنه موج به طور قابل ملاحظه‌ای کاهش می‌یابد. به طور واضح از این شکل دیده می‌شود که میدان مغناطیسی ضعیف تر باعث ایجاد اتلاف بیشتری می‌شود. این موضوع قابل انتظار است زیرا ضریب اتلاف متناسب با $\frac{1}{b^3}$ است. وجود پالس‌های نوسانی بیشتر در پشت سالیتون باعث می‌شود که مقدار انرژی بیشتری از موج

اگر میدان مغناطیسی همگن در نظر گرفته شود، به عبارتی اگر تغییرات فضایی میدان مغناطیسی را در نظر نگیریم با توجه به اینکه $\frac{\partial b}{\partial \xi} = 0$ برابر با صفر می‌شود جملات پنجم و ششم در این معادله حذف می‌شوند. با این فرض نتایج بدست آمده از این پژوهش با نتایج نتایج حاصل از پژوهش حسین و همکاران سازگاری بسیار خوبی دارد. در نهایت با در نظر گرفتن میدان مغناطیسی ناهمگن، این دو جمله باعث ایجاد شوک می‌شوند. جمله هفتم که ناشی از برخورد یون‌ها با ذرات خشی است نیروی اصطکاکی جهت میرا شدن موج را فراهم می‌کند.

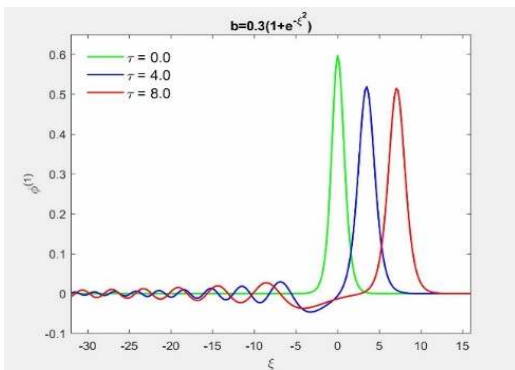
بحث و محاسبات عددی

با حضور میدان مغناطیسی ناهمگن، برخورد و نیروی کوریولیس معادله غیر خطی حاکم بر سیستم فوق، معادله ۲۶، به صورت تحلیلی قابل حل نیست بنابراین باید آن را به کمک روش‌های عدد حل کنیم. در غیاب میدان مغناطیسی، برخورد و همچنین نیروی کوریولیس معادله مذکور به معادله کورتہ وگ دی وری تبدیل می‌شود. در این حالت معادله فوق دارای جواب تحلیلی به صورت $\phi^{(1)}(\xi, \tau) = \phi_m \operatorname{sech}^2\left(\frac{\xi - U\tau}{\Delta}\right)$ می‌باشد. که $\Delta = \sqrt{\frac{4B}{U}}$ دامنه موج سالیتونی و U سرعت آن است. بهمنظور بررسی اثرات میدان مغناطیسی و برخوردها روی خصوصیات دینامیکی موج سالیتونی یون صوتی در پلاسمای کوآنتمی، معادله ۲۷ را به صورت عددی با استفاده از نرم افزار متلب حل می‌کنیم. زیرا جواب تحلیلی و شناخته شده‌ای برای معادله (mKdVB) با ضرایب وابسته به فضا وجود ندارد. برای بررسی جواب شبیه‌سازی شده معادله ۲۷ در یک میدان مغناطیسی متغیر از محاسبات عددی استفاده کنیم. برای این

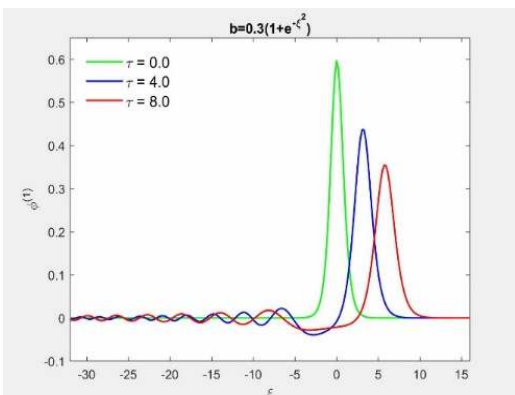


شکل ۱‌ا

شکل ۱. جواب معادله غیرخطی ۲۷ بهازی زمان‌های مختلف در غیاب
برخوردها میدان‌های مغناطیسی مختلط
 $U_0 = 0.4, H = 0.1, \theta = 10^\circ$



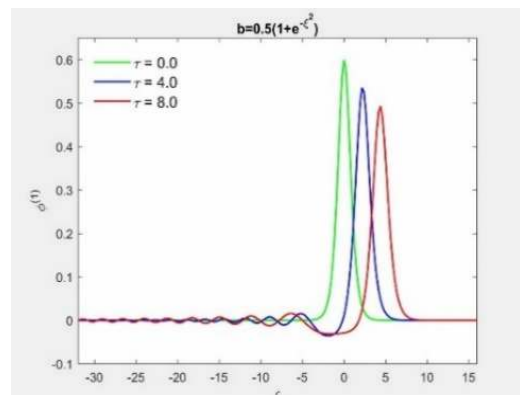
شکل ۱‌الف



شکل ۲‌ا

شکل ۲. الف: جواب معادله ۲۷ بهازی زمان‌های مختلف در حضور
برخوردها، ب: در غیاب برخوردها
 $U_0 = 0.4, H = 0.1, \theta = 10^\circ$,
 $b = 0.3(1 + e^{-\xi^2})$, $\gamma = 0.05$

تالف شود و همین امر دلیلی برای کاهش محسوس دامنه موج سالیتونی است. در شکل ۲الف جواب‌های عددی معادله ۲۷ در غیاب برخوردها و در شکل ۲ب با حضور برخوردها در زمان‌های مختلف رسم شده است. این نمودارها بهوضوح تولید دم نوسانی در پشت سالیتون در زمان‌های مختلف را نشان می‌دهند. در غیاب برخوردها، شکل (۲-الف)، شوک پراکندگی بیشتری نسبت به حضور برخوردها، شکل (۲-ب)، دارد. همچنین حضور برخوردها باعث کاهش دامنه موج سالیتونی می‌شود زیرا حضور برخوردها باعث اتلاف انرژی موج می‌شوند و کاهش انرژی بهصورت افت دامنه نمایان می‌شود. شکل ۳ موج سالیتونی را بهازی مقادیر مختلف پارامتر پراکندگی کوآنتمی نشان می‌دهد. این شکل نشان می‌دهد که با افزایش پارامتر کوآنتمی H ، دامنه کوچکتر و پهنای موج کمتر می‌شود. بهعبارت ساده‌تر می‌توان گفت که اثرات کوآنتمی باعث فشردگی سالیتون می‌شوند. این امر ممکن است بهاین H واقعیت نسبت داده شود که افزایش پارامتر کوآنتمی H باعث کاهش پراکندگی در سیستم و در نتیجه کاهش دامنه می‌شود. یکی از نتایج مهم اختلالات سالیتون، تشکیل دنباله نوسانی است (یک بسته موجی با دامنه کوچک که پشت یک سالیتون قرار می‌گیرد). می‌توان گفت برای مقادیر بزرگتر دامنه این ساختارهای شوک تابشی افزایش می‌یابد.



شکل ۲‌الف

موج سالیتونی است که بدون تغییر شکل با سرعت ثابت در محیط پلاسمایی قابل انتشار است.

مرجع‌ها

[1] M. Bonitz, N. Horing, P. Ludwig, Introduction to complex plasmas, Springer Science & Business Media, 59 (2010)

[2] S. Ali, P.K. Shukla, Dust acoustic solitary waves in a quantum plasma, Physics of plasmas, 13 (2006) 022313. <https://doi.org/10.1063/1.2173518>

[3] M. Bagheri, A .Abdikian, Space-charge waves in magnetized and collisional quantum plasma columns confined in carbon nanotubes. Physics of Plasmas, 21 (2014) 042506. <https://doi.org/10.1063/1.4872334>

[4] F. Chen, Introduction to plasma physics and controlled fusion. Springer, 1 (1984).

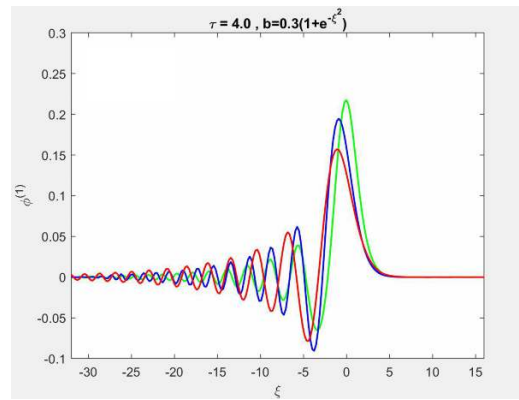
[5] H. Ren, Z. Wu, P.K. Chu, Dispersion of linear waves in quantum plasmas, Physics of Plasmas, 14 (2007) 062102. <https://doi.org/10.1063/1.2738848>

[6] G. Manfredi, M. Feix, Theory and simulation of classical and quantum echoes, Physical Review E, 53 (1996) 6460. <https://doi.org/10.1103/PhysRevE.53.6460>

[7] P. Chatterjee, et al., Dressed soliton in quantum dusty pair-ion plasma. Physics of Plasmas, 16 (2009) 112106. <https://doi.org/10.1063/1.3263695>

[8] M. Akbari-Moghanjoughi, Dressed electrostatic solitary waves in quantum dusty pair plasmas, Physics of Plasmas, 17 (2010) 052302. <https://doi.org/10.1063/1.3392289>

[9] M. Opher, et al., Nuclear reaction rates and energy in stellar plasmas: The effect of highly damped modes. Physics of



شکل ۳. اثرات پراکندگی کوآنتمومی H روی ساختار سالیتونی جواب معادله $2\gamma U_0 = 0.4, \theta = 10^\circ, b = 0.3(1 + e^{-\xi^2}), \gamma = 0.05$ منحنی آبی $H = 0.2$ ، منحنی سبز $H = 0.4$

نتایج

در این تحقیق، مشخصه‌های انتشار امواج الکترواستاتیکی غیرخطی فرکانس پایین را در یک محیط پلاسمای کوآنتمومی برخورده، شامل یون‌های مثبت لخت ناتبهگن و الکترون‌های نالخت تبهگن، در حضور یک میدان مغناطیسی غیرهمگن فضایی و نیروی کوریولیس بررسی کردی‌ایم. با استفاده از روش اختلال کاهنده، یک معادله دیفرانسیل غیرخطی از نوع کورته-وگ دی وری-برگر اصلاح شده (mKdVB) به دست آمد که نشان می‌دهد جملات اتلافی برگر و برخورده ناشی از تغییرات فضایی میدان مغناطیسی، برخورد یون‌ها با ذرات خشی، و نیروی کوریولیس تأثیر چشمگیری در رفتار موج یون صوتی دارند. نشان داده شد که اگر فرکانس زاویه‌ای چرخشی حذف شود (یعنی مقدار آن در تمام ضرایب به دست آمده صفر قرار داده شود)، روابط به دست آمده در این مقاله به دسته روابط مقاله روی و همکاران [۲۲] تبدیل می‌شوند. نتایج محاسبات عددی نشان می‌دهد که تغییرات ترکیبی مؤثر بر رفتار موج یون صوتی است و به تولید پالس‌های نوسانی و پالس‌های تابشی در انتهای انتشار موج سالیتونی منجر می‌شود. با حذف ناهمنگی فضایی میدان مغناطیسی، نیروی کوریولیس، و برخورد یون‌ها با ذرات خشی، معادله معرفی شده به معادله یون صوتی کوآنتمومی معمولی تبدیل می‌شود که می‌توان آن را به صورت تحلیلی حل کرد. جواب‌های آن معادله یک بسته

- 16 (2014) 995.
<https://doi.org/10.1088/1009-0630/16/11/01>
- [18] W. Yun-Liang, et al., Relativistic magnetosonic solitary wave in magnetized multi-ion plasma. Communications in Theoretical Physics, 51 (2009) 1121. <https://doi.org/10.1088/0253102/51/6/29>
- [19] S. Hussain, A. Abdikian, H. Hasnain, Spin density polarization effects in the presence of Coriolis force on ion acoustic waves in quantum plasma. Contributions to Plasma Physics, 61 (2021) e202000189. <https://doi.org/10.1002/ctpp.202000189>
- [20] H. Pakzad, P. Eslami, K. Javidan, Shock wave generation in plasmas at varying magnetic field. Physics of Plasmas, 26 (2019) 112109.
- [21] D. Chatterjee, A.P. Misra, Effects of Coriolis force on the nonlinear interactions of acoustic-gravity waves in the atmosphere, Journal of Atmospheric and Solar-Terrestrial Physics, 222 (2021) 105722. <https://doi.org/10.1016/j.jastp.2021.105722>
- [22] F. Haas, A. Bret, Nonlinear low-frequency collisional quantum Buneman instability. Europhysics Letters, 97 (2011) 26001. <https://doi.org/10.1209/0295-5075/97/26001>
- [23] S. Khan, W. Masood, Linear and nonlinear quantum ion-acoustic waves in dense magnetized electron-positron-ion plasmas, Physics of Plasmas, 15 (2008) 062301. <https://doi.org/10.1063/1.2920273>
- [24] G. Manfredi, F. Haas, Self-consistent fluid model for a quantum electron gas. Physical Review B, 64 (2001) 075316. <https://doi.org/10.1103/PhysRevB.64.075316>
- [25] S. Ghosh, Weakly dissipative solitons in quantum plasma. Europhysics Letters, 99 3 (2012). 36002.
- Plasmas, 8 (2001) 2454-2460. <https://doi.org/10.1063/1.1362533>
- [10] R. Debasish, B. Sahu, Influence of varying magnetic field on nonlinear wave excitations in collisional quantum plasmas, Zeitschrift für Naturforschung, 75 (2020) 913-919. <https://doi.org/10.1515/zna-2020-0182>
- [11] P. Shukla, S. Ali, Dust acoustic waves in quantum plasmas, Physics of plasmas, 21 (2005) 114502. <https://doi.org/10.1063/1.2136376>
- [12] M. Hossain, A. Mamun, K. Ashrafi, Cylindrical and spherical dust ion-acoustic Gardner solitons in a quantum plasma, Physics of Plasmas, 18 (2011) 103704. <https://doi.org/10.1063/1.3646738>
- [13] B. Sahu, et al., Quasi-periodic behavior of ion acoustic solitary waves in electron-ion quantum plasma. Physics of Plasmas, 19 (2012) 19052306. <https://doi.org/10.1063/1.4714804>
- [14] A. Saha, B. Pradhan, S. Banerjee, Multistability and dynamical properties of ion-acoustic wave for the nonlinear Schrödinger equation in an electron-ion quantum plasma. Physica Scripta, 95 (2020) 055602. <https://doi.org/10.1088/1402-4896/ab7052>
- [15] B. Hosen, et al., Compressive and rarefactive ion-acoustic solitons in a magnetized quantum plasma, The European Physical Journal Plus, 131 (2016) 81. <https://doi.org/10.1140/epjp/i2016-16081-y>
- [16] S. Sadiq, et al., Ion acoustic solitons in dense magnetized plasmas with nonrelativistic degenerate electrons and positrons. The astrophysical journal. Bristol. 27 (2014) 793. <https://doi.org/10.1088/0004-637X/793/1/27>
- [17] Z. Zhu, et al., Electron Acoustic Solitary Waves in Magnetized Quantum Plasma with Relativistic Degenerated Electrons. Plasma Science and Technology,

<https://doi.org/10.1209/0295-5075/99/36002>

[26] F. Haas, et al., Quantum ion-acoustic waves, Physics of Plasmas, 10 (2003) 3858-3866.
<https://doi.org/10.1063/1.1609446>

[27] H. Washimi, T. Taniuti, Propagation of ion-acoustic solitary waves of small amplitude, Physical Review Letters, 17 (1966) 996.
<https://doi.org/10.1103/PhysRevLett.17.996>

[28] P. G. Drazin, R.S. Johnson, Solitons: an introduction, Cambridge university press, 2 (1989).